

## АНАЛИЗ ДИНАМИКИ ЭЛЕКТРИЧЕСКОЙ ЦЕПИ С ДУГОЙ И РЕАКТОРОМ, ВКЛЮЧЕННЫМ ПОСЛЕДОВАТЕЛЬНО С КОНДЕНСАТОРОМ

Е. Н. Верещаго, канд. техн. наук, доц.<sup>1</sup>;  
В. Н. Сидорец, д-р техн. наук<sup>2</sup>

<sup>1</sup>Национальный университет кораблестроения, г. Николаев

<sup>2</sup>Институт электросварки им. Е.О. Патона НАНУ, г. Киев

**Аннотация.** Приведены методика и метод исследования динамики нелинейной электрической  $RLC$ -цепи с дугой и показано, что в ней возможно возникновение и существование детерминированного хаоса.

**Ключевые слова:** динамика, исследование, электрическая дуга, колебания, хаос.

**Анотація.** Наведено методику та метод дослідження динаміки нелінійного електричного  $RLC$ -кола з дугою і показано, що в ньому можливе виникнення та існування детермінованого хаосу.

**Ключові слова:** динаміка, дослідження, електрична дуга, коливання, хаос.

**Abstract.** The technique and method of studying of dynamics of nonlinear electrical  $RLC$ -circuit with the arc are presented and the opportunity of emergence and existence of deterministic chaos are shown in this work.

**Keywords:** dynamics, research, electrical arc, oscillations, chaos.

### ПОСТАНОВКА ПРОБЛЕМЫ

Дальнейшим развитием исследований нелинейных диссипативных цепей является изучение электрических цепей с дугой, которые описываются системой трех дифференциальных уравнений.

Существенно, что появление дополнительной степени свободы при переходе от двумерных к трехмерным системам может привести к значительным изменениям в поведении системы [1–3].

Главная особенность трехмерных динамических систем в отличие от двумерных заключается в том, что в некоторых из них обнаружен так называемый детерминированный хаос [3–5, 7]. В результате в системе без случайных возмущающих сил и случайно изменяющихся параметров могут протекать процессы, внешне напоминающие случайные процессы.

### АНАЛИЗ ПОСЛЕДНИХ ИССЛЕДОВАНИЙ И ПУБЛИКАЦИЙ

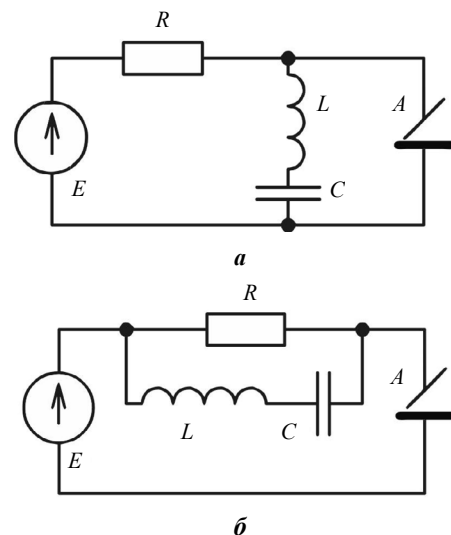
Простейших  $RLC$ -цепей с дугой может быть восемь. Отдельные из них исследованы в публикациях [6, 7]. Таким образом, перспективность исследования электрических цепей с дугой, которые описываются тремя дифференциальными уравнениями, подтверждается и с этой точки зрения.

**ЦЕЛЬЮ СТАТЬИ** является не только изложение и исследование наиболее интересных электрических  $RLC$ -цепей с дугой, когда реактор включен последовательно с конденсатором, но и представление их в тесной взаимосвязи с основными концепциями, проблемами и методами современной теории устойчивости.

### ИЗЛОЖЕНИЕ ОСНОВНОГО МАТЕРИАЛА

Схемы таких цепей представлены на рис. 1, *а, б*.

Цепи содержат последовательно соединенные источник постоянного напряжения  $E$ , резистор  $R$  и дугу  $A$ , а также последовательный  $LC$ -контур, состоящий из реактора  $L$  и конденсатора  $C$ . В первой цепи контур подключен параллельно дуге, во второй – параллельно резистору.



**Рис. 1.** Электрические цепи с дугой, которые описываются тремя дифференциальными уравнениями (все элементы цепей, кроме дуги  $A$ , линейны): *а* –  $LC$ -контур подключен параллельно дуге; *б* –  $LC$ -контур подключен параллельно резистору

**Уравнения, описывающие  $RLC$ -цепи с дугой и реактором, включенным последовательно с конденсатором.** Как и в [7], в качестве независимых переменных выберем ток в реакторе  $i$ , напряжение на конденсаторе  $u$  и ток состояния дуги  $i_0$ . Тогда

уравнения Кирхгофа, описывающие первую цепь, будут иметь следующий вид:

для контура (содержащего резистор и дугу)

$$E = Ri_R + \frac{U(i_0)}{i_0} i_A, \quad (1)$$

для узла

$$i_R = i + i_A, \quad (2)$$

где  $i_R$  – ток резистора;  $i_0$  – ток состояния дуги [6];  $i_A$  – ток дуги. Эти уравнения не являются дифференциальными, но они позволяют получить явное выражение для тока дуги:

$$i_A = \frac{E - Ri}{R + \frac{U(i_0)}{i_0}}. \quad (3)$$

Дифференциальным будет уравнение, соответствующее закону Кирхгофа для контура, содержащего LC-контур и дугу:

$$L \frac{di}{dt} + u = \frac{U(i_0)}{i_0} \frac{E - Ri}{R + \frac{U(i_0)}{i_0}}. \quad (4)$$

Второе дифференциальное уравнение получаем непосредственно из закона Фарадея:

$$C \frac{du}{dt} = i. \quad (5)$$

Третье дифференциальное уравнение – это динамическая модель дуги с учетом выражения для тока дуги (3)

$$\theta \frac{di_0^2}{dt} + i_0^2 = \left[ \frac{E - Ri}{Ri_0 + U(i_0)} \right]^2 i_0^2. \quad (6)$$

Окончательно система, описывающая первую цепь, принимает вид

$$\begin{cases} \frac{di}{dt} = \frac{1}{L} \left[ U(i_0) \frac{E - Ri}{Ri_0 + U(i_0)} - u \right]; \\ \frac{du}{dt} = \frac{1}{C} i; \\ \frac{di_0^2}{dt} = \frac{1}{\theta} \left\{ \left[ \frac{E - Ri}{Ri_0 + U(i_0)} \right]^2 - 1 \right\} i_0^2. \end{cases} \quad (7)$$

Не повторяя выкладки, касающиеся второй цепи, отметим, что она также описывается системой (7), но с учетом преобразования переменных  $u \Leftrightarrow E - u$ . Поэтому сосредоточимся на исследовании только первой цепи.

С целью обобщения задачи и уменьшения числа параметров, которые характеризуют исследуемую цепь, приведем систему (7) к безразмерному виду:

$$\begin{cases} \dot{x} = \frac{1}{L} \left( \frac{1 + R - Rx}{R + z^2} z^{\frac{n-1}{2}} - y \right); \\ \dot{y} = \frac{1}{C} x; \\ \dot{z} = \left( \frac{1 + R - Rx}{R + z^2} \right)^2 - z. \end{cases} \quad (8)$$

Поскольку в качестве масштаба времени выбрана постоянная времени дуги  $\theta$ , напряжения –  $U_0$  и тока –  $I_0$ , система имеет безразмерные комплексы

$$\bar{R} = \frac{RI_0}{U_0}; \quad \bar{C} = \frac{CU_0}{\theta I_0}; \quad \bar{L} = \frac{LI_0}{\theta U_0}.$$

При выводе уравнений (8) учтем степенной вид статической вольт-амперной характеристики (ВАХ)

дуги  $U(i) = U_0 \left( \frac{i}{I_0} \right)^n$ , где  $U_0$  и  $I_0$  – соответственно напряжение и ток дуги в точке привязи аппроксимации к реальной статической ВАХ дуги;  $n$  – показатель степени (для свободных дуг  $n = -1/3$ ), и связь между параметрами

$$U_A = \frac{U(i_0)}{i_0}.$$

Независимые переменные имеют вид

$$\tau = \frac{t}{\theta}; \quad x = \frac{i}{I_0}; \quad y = \frac{u}{U_0}; \quad z = \frac{i_0^2}{I_0^2}.$$

**Качественный анализ.** Особые точки определяются с помощью стандартной процедуры приравнивания правых частей системы (8) нулю. Исключая переменные  $y$  и  $z$ , получаем нелинейное уравнение, которое имеет два решения, что соответствует двум особым точкам:

$S$  с координатами  $(0, 1, 1)$ ;

$N$  с координатами  $(0, x_N^n, x_N^2)$ , где  $x_N$  определяется

уравнением  $1 + R - Rx_N = x_N^n$ .

Как и в статье [7], координаты особых точек не зависят от величины реактивных элементов цепи  $L$  и  $C$ , а определяются лишь параметрами  $R$  и  $n$ . Анализ повторять не будем, но напомним, что в дальнейшем будем рассматривать только случай

$$R > -n. \quad (9)$$

В ходе анализа будет необходима матрица Якоби для системы (8). Из-за громоздкости приводить формулу для матрицы Якоби не будем. Также не будем подробно останавливаться на линейном анализе вблизи особой точки  $N$ , т. к. рассматриваемая цепь обладает свойствами, подобными свойствам цепи, которая анализировалась в [6].

Остановимся подробнее на изучении свойств цепи вблизи особой точки  $S$ . Для этого получим

соответствующую матрицу Якоби

$$A_S = \begin{bmatrix} -\frac{R}{L(1+R)} & -\frac{1}{L} & -\frac{(1-n)R}{2L(1+R)} \\ \frac{1}{C} & 0 & 0 \\ -\frac{2R}{1+R} & 0 & -\frac{R+n}{1+R} \end{bmatrix}$$

и характеристическое уравнение

$$LC(1+R)\lambda^3 + C[R+L(R+n)]\lambda^2 + (1+R+nRC)\lambda + (R+n) = 0. \quad (10)$$

Анализируя формулу (10), можно сделать вывод, что если выполняется условие (9), то произведение трех собственных значений меньше нуля:

$$\lambda_1^{(s)}\lambda_2^{(s)}\lambda_3^{(s)} < 0. \quad (11)$$

Если собственные значения действительны, то они или все отрицательные, или одно отрицательное, а два положительных. Если два собственных значения комплексные, то третье действительное собственное значение отрицательное. В отличие от цепей, исследованных в [7], здесь имеется только один предельный переход. При  $L \rightarrow 0$  исследуемая система [6, 7] сводится к  $RC$ -цепи с дугой. В этой цепи точке  $S$  соответствуют два отрицательных собственных значения знаков. Поэтому для удовлетворения условию (11) необходимо, чтобы третье собственное значение было также отрицательным. Так как при  $L \rightarrow 0$  третье собственное значение  $|\lambda_3| \rightarrow \infty$ , то в данном случае  $\lambda_3 \rightarrow -\infty$ .

Решая уравнение (10) относительно  $L$ :

$$L = -\frac{RC\lambda^2 + (1+R+nRC)\lambda + R+n}{C\lambda^2[(1+R)\lambda + R+n]}, \quad (12)$$

определяем, что предельными собственными значениями при  $L \rightarrow \infty$  являются

$$\text{Re } \lambda_{1,2}^{(s)} = +0; \quad \lambda_3^{(s)} = -\frac{R+n}{1+R} < 0, \quad (13)$$

т. е. полюса выражения (12). Из выражения (13) видно, что при больших значениях  $L$  линеаризованная система неустойчива.

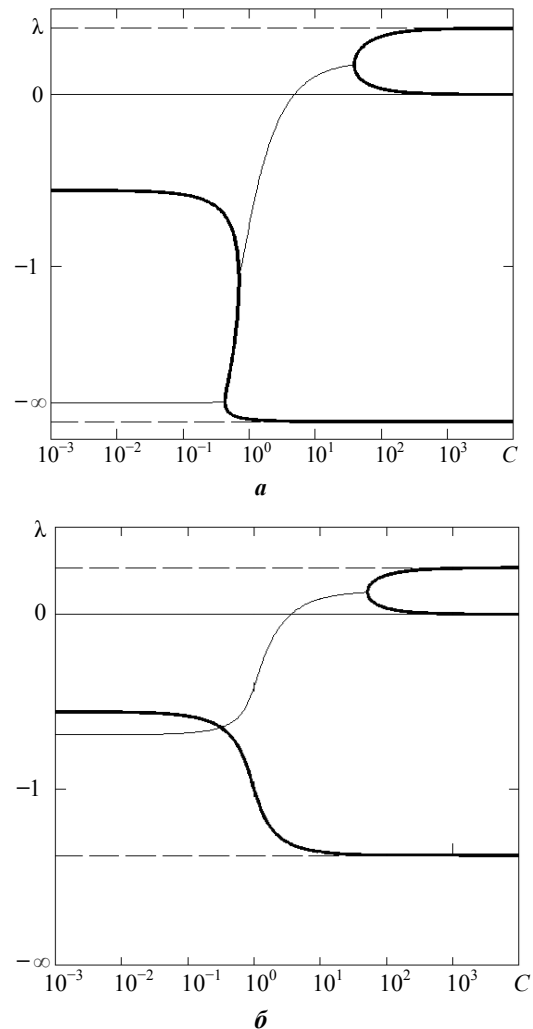
Решая уравнение (10) относительно  $C$ :

$$C = -\frac{(1+R)\lambda + R+n}{\lambda\{L(1+R)\lambda^2 + [R+L(R+n)]\lambda + nR\}}, \quad (14)$$

видим, что зависимость собственных значений от параметра  $C$  при  $C \rightarrow \infty$  всегда имеет три асимптоты, причем ненулевые имеют разные знаки, а при  $C \rightarrow 0$  — одну асимптоту, два остальных собственных значения комплексные.

На рис. 2 представлены результаты численных расчетов собственных значений  $\lambda^{(s)}$  в зависимости от параметров. Как оказалось, зависимости от па-

раметра  $C$  могут быть двух типов. Первый тип — когда одно собственное значение на всем интервале изменения параметра  $C$  остается отрицательным и изолированным от двух других, которые при малых значениях параметра  $C$  комплексные. Лишь при очень больших значениях параметра  $C$  они становятся действительными и положительными.



**Рис. 2.** Зависимость собственных значений особой точки  $S$  от параметра  $C$ :  $a - R = 1,50; L = 0,05$ ;  $b - R = 1,5; L = 0,5$ ; ———— — действительные собственные значения; - - - - - комплексные собственные значения; - - - - - асимптоты (по оси абсцисс шкала логарифмическая, по оси ординат — проективная)

Второй тип характеризуется взаимодействием всех трех собственных значений, и в отличие от первого типа существует два диапазона изменения параметра  $C$ , где собственные значения комплексные.

В обоих типах также присутствует диапазон значений параметра  $C$ , где точка  $S$  является седлофокусом с одним отрицательным собственным значением и двумя комплексными собственными значениями, имеющими положительную действительную часть. Этот диапазон также представляет интерес, т. к. он

тоже подпадает под первое условие теоремы Шильникова [8] о рождении странного аттрактора из седлофокуса.

Сделаем количественные оценки, с помощью которых можно охарактеризовать тип особой точки  $S$ . Рассмотрим плоскости параметров  $(R, C)$ ,  $(L, C)$  и  $(R, L)$  и построим в них характерные кривые:

кривые перехода «узел – узлофокус» (жирные линии);

кривые перехода «устойчивый узлофокус – неустойчивый узлофокус» (тонкие линии).

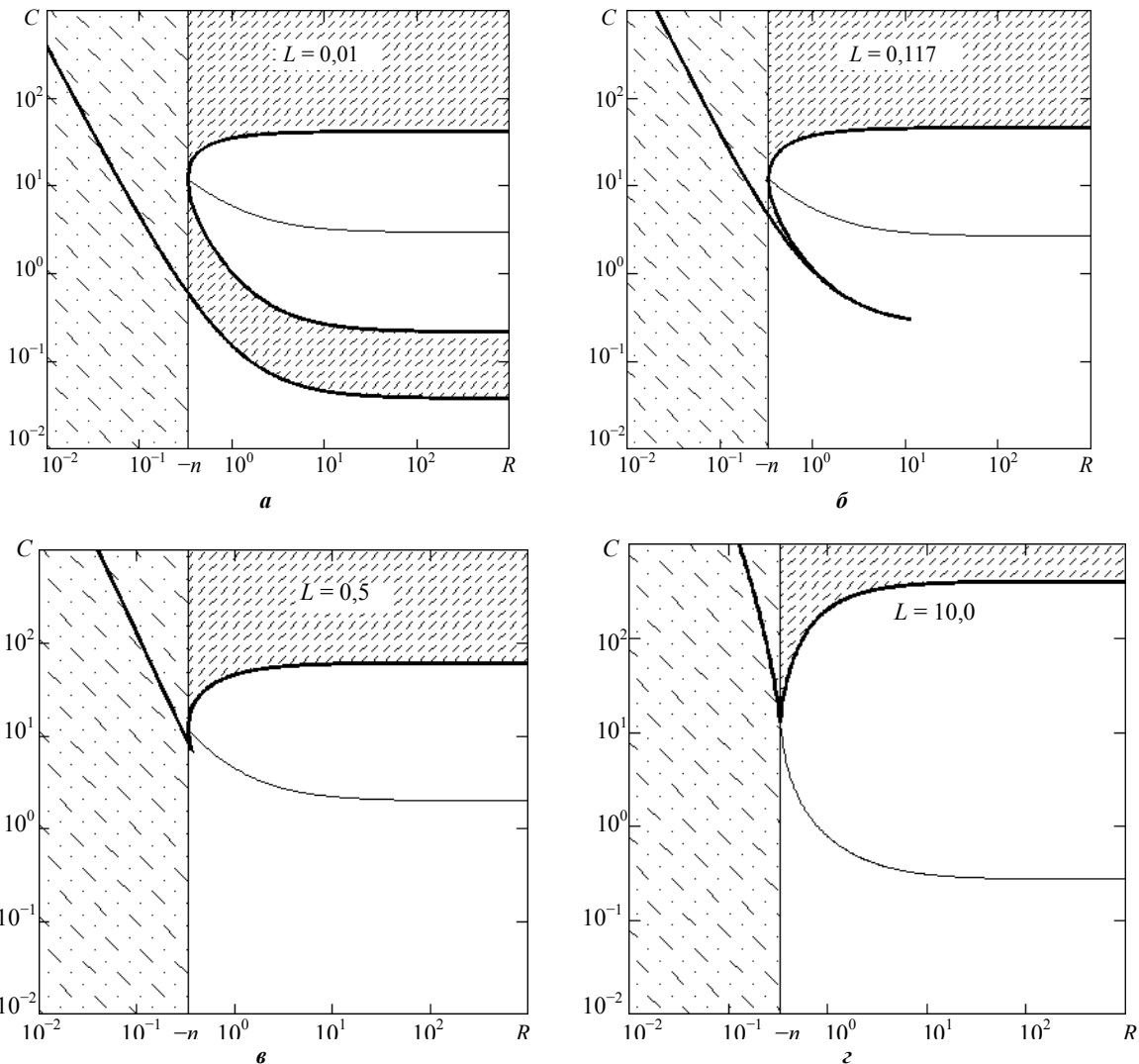
Зависимости  $C_f(R)$  и  $C_f(L)$  всегда будут иметь три или один положительный корень. В зависимости  $C_f(L)$  переход от варианта с тремя корнями к одному корню происходит при увеличении параметра  $L$  при всех значениях параметра  $R$ . В зависимости  $C_f(R)$  это происходит только при больших значениях параметра  $L$ . При малых значениях параметра  $L$  зависимость

$C_f(R)$  для всех значений параметра  $R$  показана на рис. 3 и 4.

Это значение совпадает с таким же значением  $(L_{3,1m} = \sqrt{3} \cos(5/18) - 1 = 0,113340798$  для  $n = -1/3$ ) для первой цепи, проанализированной в публикации [7].

**Бифуркация Хопфа.** Анализ графиков зависимостей собственных значений  $\lambda^{(s)}$  от параметров исследуемой системы  $R, L$  и  $C$  (см. рис. 2 и 3) показывает, что есть значения параметров, когда действительная часть собственных значений пересекает нулевой уровень (см. рис. 2, а, б). Следовательно, пара собственных значений становится чисто мнимой, а третье собственное значение при этом отрицательное  $\lambda_3 = \delta < 0$ .

Такая ситуация характерна для бифуркации Хопфа. Чтобы убедиться в этом, проведем более подробное исследование.



**Рис. 3.** Границы кратности (—) и чистой мнимости (—) собственных значений особой точки  $S$  в плоскости  $(R, C)$ : в незаштрихованной области точка  $S$  – узлофокус

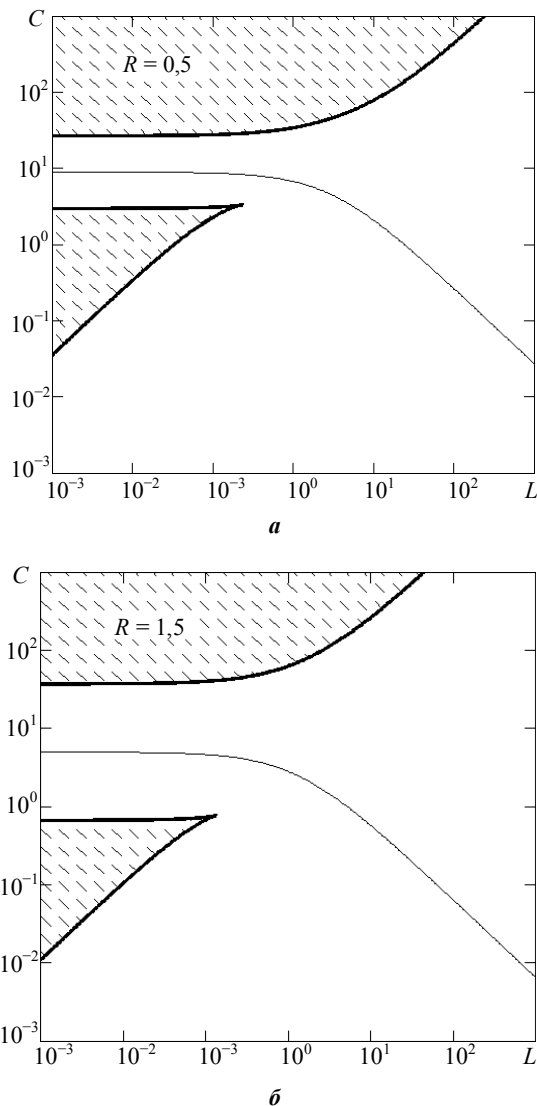


Рис. 4. Границы кратности (—) и чистой мнимости (---) собственных значений особой точки  $S$  в плоскости  $(L, C)$ : в незаштрихованной области точка  $S$  – узлофокус

Условие, когда пара корней полинома равна по модулю и противоположна по знаку (т. е. в частном случае – наличие пары чисто мнимых корней), для исследуемой системы имеет вид

$$LC(1+R)(R+n) = C[R+L(R+n)](1+R+nRC). \quad (15)$$

Это условие представляет собой квадратное уравнение относительно параметра  $n$  и линейное относительно параметров  $R, L$  и  $C$ .

Если для определенности в качестве бифуркационного параметра выберем параметр  $C$ , уравнение (15) можно решить относительно него:

$$C_H = -\frac{1+R}{n[R+L(R+n)]}. \quad (16)$$

На рис. 5,а,б представлено семейство кривых зависимостей  $C_H(R)$  при различных значениях параметра  $L$  и  $R$  соответственно. Для их построения можно также пользоваться параметрической формой записи:

$$C_H(\omega) = \frac{1-n}{\omega^2+n^2+\omega^2L(1-n)}; \quad (17)$$

$$R_H(\omega) = -\frac{\omega^2+n^2}{\omega^2+n}. \quad (18)$$

На рис. 5,в представлено семейство кривых зависимостей  $L_H(R)$  при различных значениях параметра  $C$ . Построение можно выполнять с помощью параметрической формы записи, где зависимость  $L_H(\omega)$  имеет вид

$$L_H(\omega) = \frac{1-n-C(\omega^2+n^2)}{\omega^2C(1-n)}, \quad (19)$$

а зависимость  $R_H(\omega)$  задается формулой (18).

Проведенный выше анализ показывает, что перспективным для дальнейшего исследования является выбор параметра  $C$  в качестве бифуркационного. Как и ранее, будем проводить исследование поведения динамической системы при изменении параметра  $C$ .

Найденное по формуле (16) бифуркационное значение  $C_H$  параметра  $C$  дает возможность определить величины, которые входят в формулы  $\lambda_{1,2} = \pm j\omega_0$  и  $\lambda_3 = \delta < 0$ :

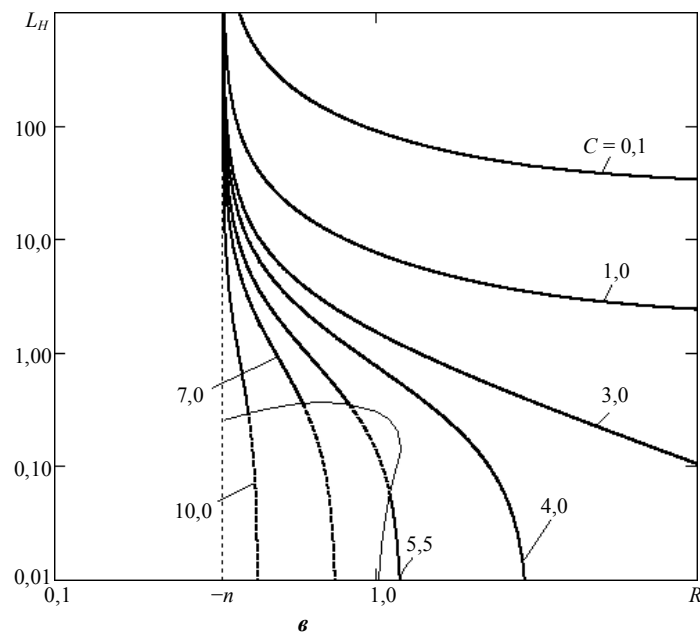
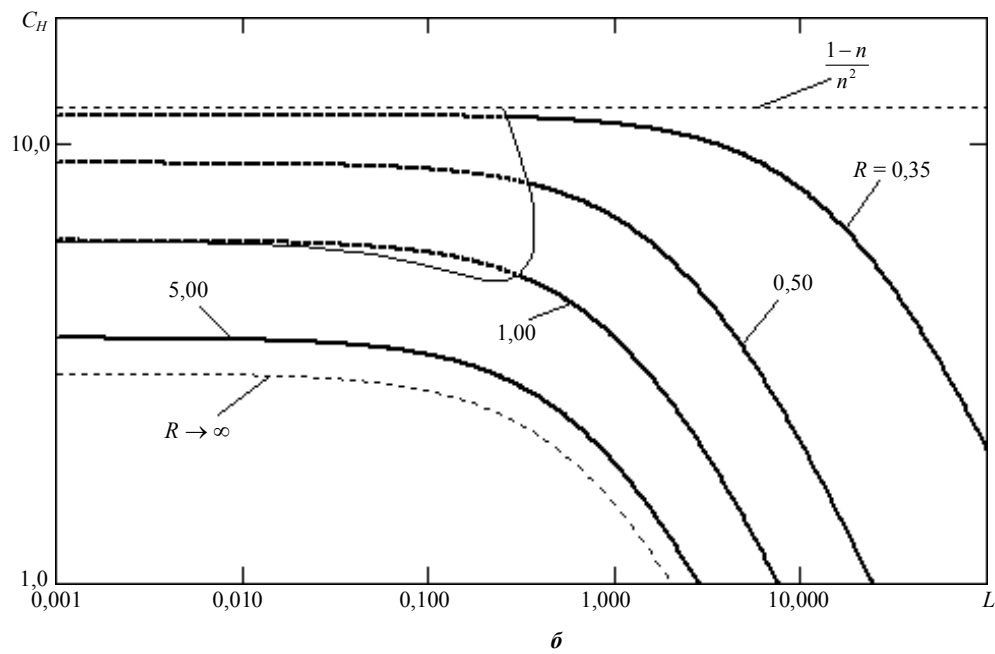
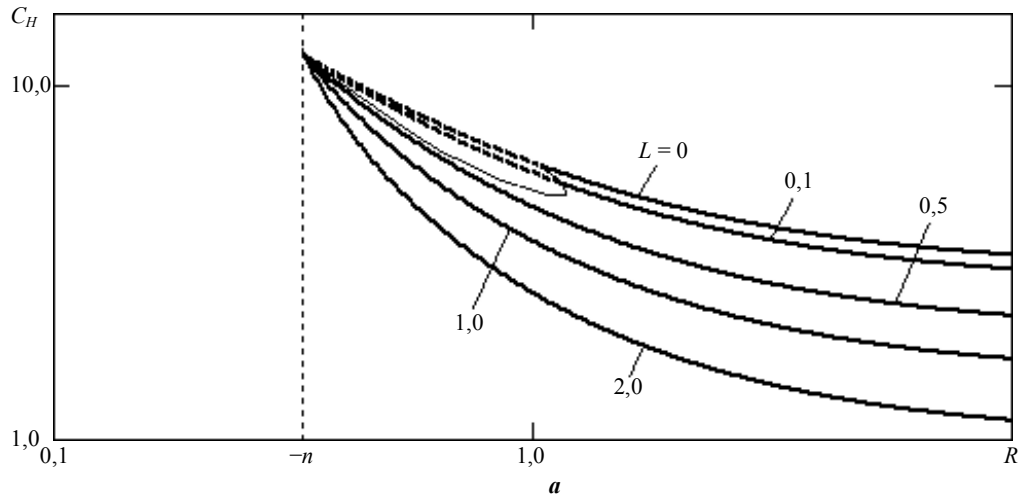
$$\omega_0 = \sqrt{\frac{n(R+n)}{1+R}}; \quad (20)$$

$$\delta = -\frac{R+L(R+n)}{L(1+R)} < 0. \quad (21)$$

Формулы (11), (20) и (21) дают возможность перейти к следующему этапу исследования, а именно вычислить производную собственного значения по параметру в точке бифуркации  $C = C_H$ :

$$\frac{d}{dC} \operatorname{Re} \lambda \Big|_{C=C_H} = -\frac{nR[L(R+n)+R]}{2(1+R)^2 L^2 C_H (\omega_0^2 + \delta^2)} > 0 \quad (22)$$

и убедиться, что она строго положительна. Это значит, что собственные значения пересекают нулевой уровень с ненулевой скоростью, что свидетельствует, в свою очередь, о выполнении второго условия теоремы Хопфа. Первое условие (наличие чисто мнимых собственных значений) обсуждалось выше.



**Рис. 5.** Кривые бифуркации Хопфа в плоскостях: *a* – (*R*, *C*); *б* – (*L*, *C*); *в* – (*R*, *L*); - - - - суперкритическая бифуркация Хопфа; — — — субкритическая бифуркация Хопфа

Поскольку условия теоремы Хопфа выполнены, воспользуемся ее выводами:

- при значении параметра  $C = C_H$  (16) в исследуемой системе происходит бифуркация Хопфа, т. е. в системе в окрестности параметра  $C_H$  существует предельный цикл;

- бифуркация Хопфа может быть субкритической (при взаимодействии устойчивого узлофокуса с неустойчивым предельным циклом) или суперкритической (при взаимодействии неустойчивого узлофокуса с устойчивым предельным циклом).

Последнее положение требует дополнительных исследований, выходящих за рамки линейной теории.

**Нелинейный анализ бифуркации Хопфа.** Как отмечалось выше, теорема Хопфа не дает ответа на вопрос об устойчивости предельного цикла.

Для решения этого вопроса воспользуемся некоторыми элементами нелинейной теории, а именно следствиями из теоремы о нормальной форме дифференциальных уравнений и теоремы о центральном многообразии [1, 5]. Следуя методике [7], вычислим так называемый индекс Флоке (в русскоязычной литературе – показатель Ляпунова [5]). Выкладки из-за громоздкости опущены. Здесь же приведем результаты.

На рис. 6 представлено разбиение плоскости параметров  $(R, L)$  кривой  $\beta_2 = 0$  на области, где индекс Флоке  $\beta_2$  имеет разные знаки, что соответствует различным типам бифуркации Хопфа. В области малых значений параметра  $L$  и малых значений параметра  $R$  (заштрихованная область) в системе происходит субкритическая бифуркация Хопфа с исчезновением неустойчивого предельного цикла (случай 1). В оставшейся области индекс Флоке  $\beta_2$  отрицательный. Это значит, что в системе происходит суперкритическая бифуркация с рождением устойчивого предельного цикла (случай 2). Был проверен предельный переход при  $L = 0$ . Результат совпал с результатом для  $RC$ -цепи с дугой, который описан ранее.

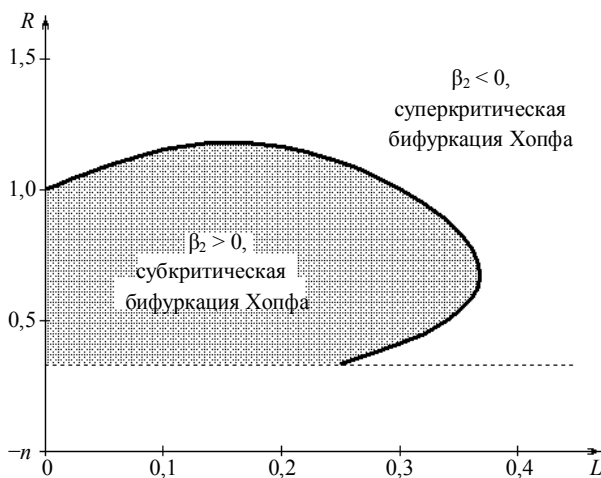


Рис. 6. Область различных типов бифуркации Хопфа в плоскости параметров  $(R, L)$

Зависимость амплитуды предельных циклов от бифуркационного параметра  $C$  при больших значениях параметра  $R$  иллюстрирует их эволюцию (рис. 7).

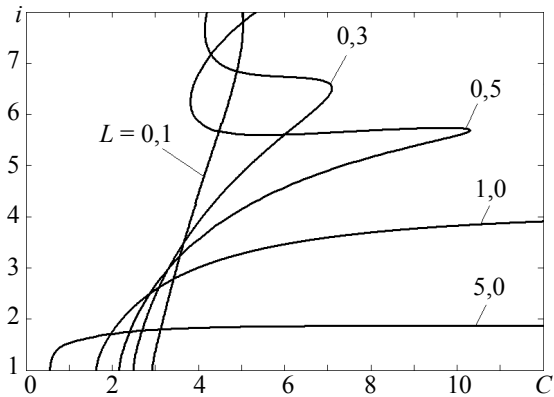


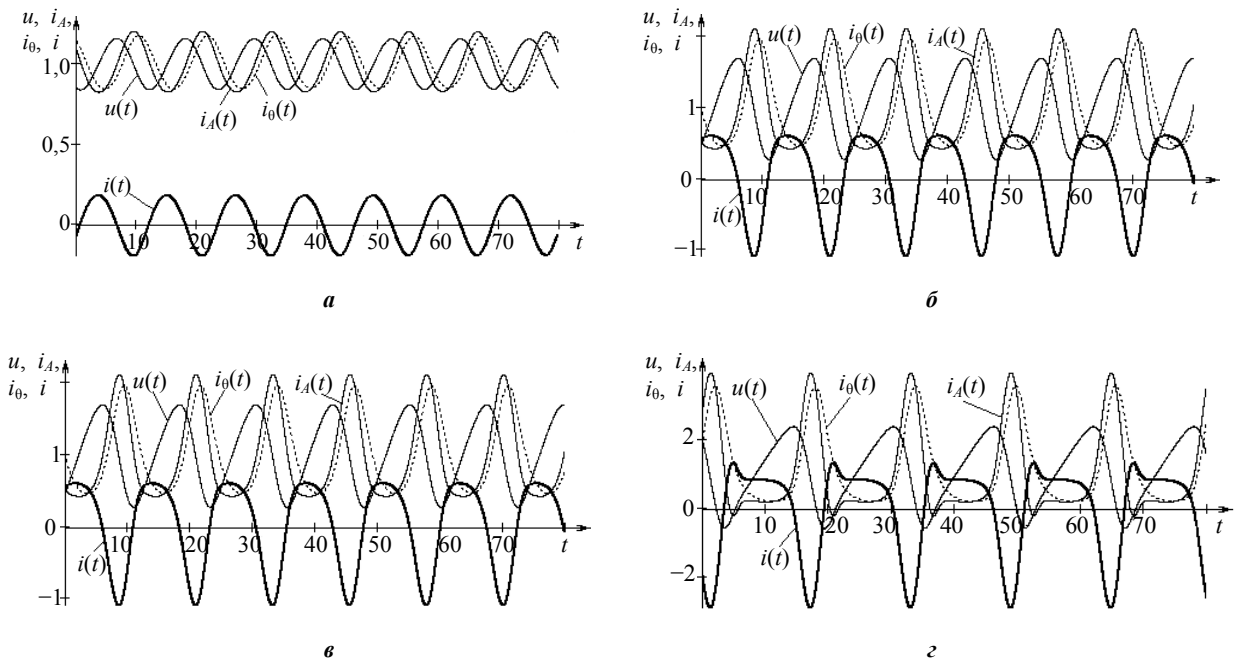
Рис. 7. Зависимость амплитуды устойчивых предельных циклов от бифуркационного параметра  $C$  ( $R = 15$ )

**Численный анализ бифуркации Хопфа и предельных циклов.** Интегрировалась исходная система нелинейных дифференциальных уравнений (8). На рис. 8 и 9 представлены характерные результаты. При значениях параметра  $C$  меньших, чем значение для суперкритической бифуркации Хопфа ( $C_H = 2,149253731$  для  $R = 15, L = 0,5$ ), в системе наблюдается затухающий переходной процесс. При значениях, близких к  $C_H$ , затухающий процесс имеет колебательный характер. При значениях параметра больших, чем значение  $C_H$ , в системе устанавливаются автоколебания (см. рис. 8). Причем, если при малых отклонениях параметра  $C - C_H$  колебания имеют небольшую амплитуду и близки к гармоническим (см. рис. 8,а), то при увеличении этой разницы амплитуда колебаний растет. Они значительно отличаются от гармонических (см. рис. 8,б-г) и носят явно выраженный нелинейный характер.

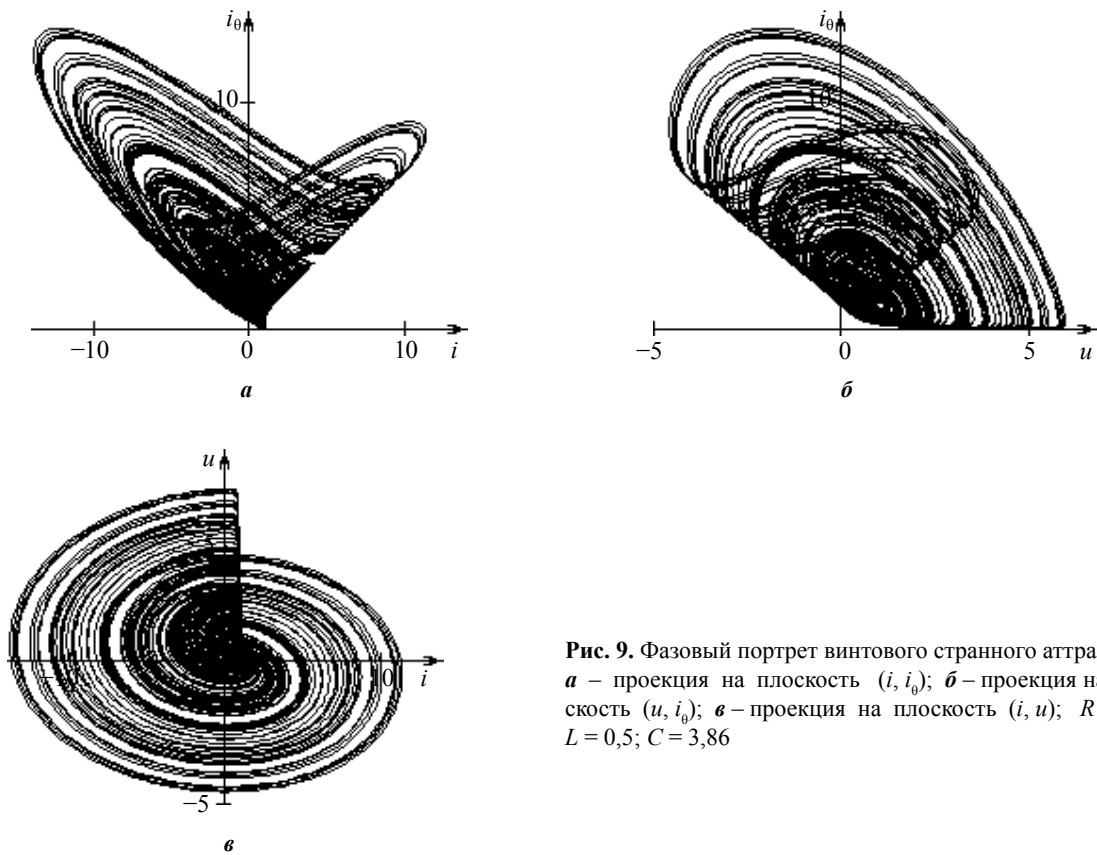
Это же иллюстрируют фазовые портреты автоколебаний, представленные на рис. 9. Сначала они имеют форму эллипсов, что соответствует гармоническим колебаниям. В последствии эллипсы значительно искажаются, причиной чего является нелинейность колебаний.

Нелинейные свойства колебаний проявляются особо при дальнейшем увеличении параметра  $C$ . Предельный цикл однократного периода теряет устойчивость, а в системе появляется предельный цикл двукратного периода  $2T$ . То же происходит и с этим циклом при дальнейшем увеличении бифуркационного параметра – в системе появляется предельный цикл периода  $4T$ . Таким образом, при увеличении параметра  $C$  наблюдается так называемый каскад бифуркаций удвоения периода, при котором в системе последовательно появляются предельные циклы с периодами:

$$1T \rightarrow 2T \rightarrow 4T \rightarrow 8T \rightarrow 16T \rightarrow \dots \rightarrow 2^k T \rightarrow \dots \quad (23)$$



**Рис. 8.** Автоколебания в исследуемой системе при различных значениях бифуркационного параметра  $C$  при  $R = 15$ ,  $L = 0,5$ : **а** –  $C = 2,15$ ; **б** –  $2,2$ ; **в** –  $2,3$ ; **г** –  $2,9$ ; независимые переменные безразмерны (--- ток состояния дуги  $i_0 = \sqrt{z}$ ; — ток реактора  $i = x$ ; — напряжение на конденсаторе  $u = y$ )

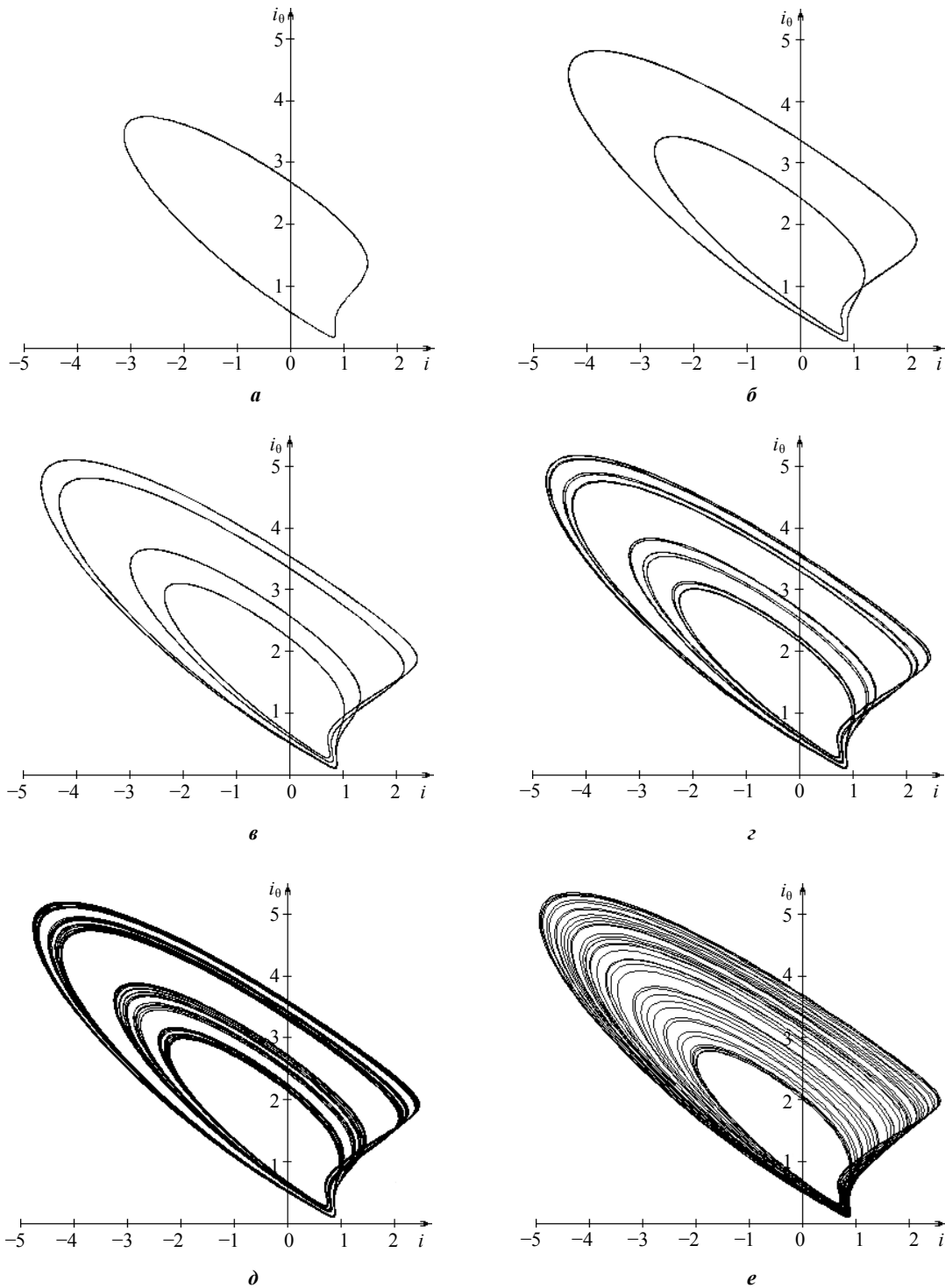


**Рис. 9.** Фазовый портрет винтового странного аттрактора: **а** – проекция на плоскость  $(i, i_0)$ ; **б** – проекция на плоскость  $(u, i_0)$ ; **в** – проекция на плоскость  $(i, u)$ ;  $R = 15$ ;  $L = 0,5$ ;  $C = 3,86$



Как известно [1, 3], бесконечный каскад бифуркаций удвоения периода приводит к появлению в нелинейных динамических системах странного аттрактора, т. е. возникновению хаотических колебаний, кото-

рые еще называют детерминированным хаосом. В исследуемой системе наблюдалось появление странного аттрактора, фазовый портрет которого изображен на рис. 9 и 10,е.



**Рис. 10.** Фазовые портреты автоколебаний при различных значениях бифуркационного параметра  $C$  при  $R = 15, L = 0,5$ , иллюстрирующие каскад бифуркаций удвоения периода и странный аттрактор: *a* – колебания с периодом  $1T$  ( $C = 3,0$ ); *б* –  $2T$  ( $C = 3,3$ ); *в* –  $4T$  ( $C = 3,36$ ); *г* –  $8T$  ( $C = 3,375$ ); *д* – ленточный странный аттрактор ( $C = 3,38$ ); *е* – винтовой странный аттрактор ( $C = 3,41$ )

Необходимо отметить, что хаотические колебания в исследуемой системе возникают не сразу. Сначала в системе наблюдаются хаотические колебания в виде отдельных лент, которые занимают лишь часть фазового объема. При увеличении параметра  $C$  узкие ленты сливаются в более широкие в результате так называемого [4] «обратного» каскада удвоения периода. Ленточный хаос наблюдался и при других значениях бифуркационного параметра  $C$ .

Детерминированный хаос является неоднородным по своей структуре в том смысле, что при изменении параметра  $C$  хаотические колебания чередуются с периодическими. Последние наблюдаются в некоторых диапазонах изменения параметра  $C$ , что дает возможность назвать эти диапазоны окнами периодичности. Причем периоды колебаний в окнах периодичности не совпадают с периодами каскада бифуркаций удвоения периода (23).

### ВЫВОДЫ

1. Линейный анализ нелинейных электрических  $RLC$ -цепей с дугой, в частности исследование зависимостей собственных значений от параметра, дает возможность предсказать некоторые нелинейные явления и выбрать бифуркационный параметр.

2. При исследовании динамики  $RLC$ -цепей с электрической дугой перспективным является использование параметра безразмерной емкости в качестве бифуркационного параметра.

3. Электрические  $RLC$ -цепи с дугой при увеличении бифуркационного параметра теряют локальную устойчивость, что приводит к появлению автоколебаний. Они могут возникать либо мягко в результате суперкритической бифуркации Хопфа, либо жестко в результате субкритической бифуркации Хопфа.

4. Дальнейшее увеличение бифуркационного параметра приводит к бесконечному каскаду неустойчивостей, которые называются каскадом бифуркаций удвоения периода. Если данный каскад бифуркаций является бесконечным, то приводит к появлению странного аттрактора с винтовой или ленточной структурой, т. е. непериодических автоколебаний, которые называются детерминированным хаосом. Детерминированный хаос неоднороден по своей структуре: при изменении бифуркационного параметра в нем присутствуют окна периодических колебаний.

5. Наличие в электрической цепи нелинейного элемента с падающей внешней вольтамперной характеристикой, которым является электрическая дуга, – необходимое, но недостаточное условие возникновения и существования детерминированного хаоса.

6. Разнообразие сценариев возникновения и развития детерминированного хаоса требует разработки и применения специализированных методов и методик исследования нелинейных электрических цепей.

### СПИСОК ИСПОЛЬЗОВАННОЙ ЛИТЕРАТУРЫ

- [1] Анищенко, А. С. Сложные колебания в простых системах: механизмы возникновения, структура и свойства динамического хаоса в радиофизических системах [Текст] / А. С. Анищенко. – М. : Наука, 1990. – 312 с.
- [2] Баутин, Н. Н. Методы и приемы качественного исследования динамических систем на плоскости [Текст] / Н. Н. Баутин, Е. А. Леонтович. – М. : Наука, 1990. – 488 с.
- [3] Кузнецов, С. П. Динамический хаос (курс лекций) [Текст] / С. П. Кузнецов. – М. : Изд-во физ.-мат. лит., 2001. – 296 с.
- [4] Мун, Ф. Хаотические колебания: вводный курс для научных работников и инженеров [Текст] / Ф. Мун. – М. : Мир, 1990. – 312 с.
- [5] Неймарк, Ю. И. Стохастические и хаотические колебания [Текст] / Ю. И. Неймарк. – М. : Наука, 1987. – 424 с.
- [6] Сидорец, В. Н. Возникновение и структура странного аттрактора в  $RLC$ -цепи с электрической дугой [Текст] / В. Н. Сидорец, И. В. Пентегов // Техническая электродинамика. – 1993. – № 2. – С. 28–32.
- [7] Сидорец, В. Н. Хаотические колебания в  $RLC$ -цепи с электрической дугой [Текст] / В. Н. Сидорец, И. В. Пентегов // Докл. АН Украины. – 1992. – № 1. – С. 87–90.
- [8] Шустер, Г. Детерминированный хаос [Текст] / Г. Шустер. – М. : Мир, 1998. – 240 с.

© Е. М. Верещаго, В. М. Сидорець

Надійшла до редколегії 04.03.13

Статтю рекомендує до друку

д-р техн. наук, проф. Б. М. Гордєєв

Статтю розміщено у Віснику НУК № 2, 2013